

# Сравнительный анализ численных методов решения обратной задачи об источнике распространения волн

Губер Алексей Владимирович

Шишленин Максим Александрович

XVII Международная конференция «Забабахинские научные  
чтения»

ИМ СО РАН

20 мая 2025 г.

- 1 Введение
- 2 Матричный метод
- 3 PINN
- 4 Градиентный метод
- 5 Заключение

Восстановление источников акустических волн является актуальной и практически важной задачей:

- 1 медицинская акустическая томография (источник локализован, точный вид сигнала неизвестен);
- 2 морская акустика (внутренние волны, волны цунами и пр.);
- 3 геофизика (источники землетрясений, микросейсмический мониторинг, при условии, что параметры среды известны).

# Постановка прямой задачи

Рассмотрим некоторый волновой процесс из пунктов 1, 2, 3 в области  $\Omega = \{(x, y) : x \in (0, L_x), y \in (0, L_y)\}$ :

$$u_{tt} = \operatorname{div}(c^2(x, y)\nabla u), \quad (x, y) \in \Omega, \quad t \in (0, T),$$

$$u|_{t=0} = q(x, y), \quad u_t|_{t=0} = 0,$$

$$u|_{\partial\Omega} = 0.$$

Здесь  $c(x, y)$  – скорость распространения волн,  $u(x, y, t)$  – давление.

# Постановка обратной задачи

Обратная задача состоит в нахождении функции  $q(x, y)$  из дополнительной информации:

$$u(x_n, y_n, t) = f_n(t), \quad n = \overline{1, N}.$$

Здесь  $(x_n, y_n)$  – координаты приёмников,  $N$  – количество приёмников.



## Цель

Реализовать основные методы решения поставленной обратной задачи об источнике волн и провести их сравнительный анализ.

## Цель

Реализовать основные методы решения поставленной обратной задачи об источнике волн и провести их сравнительный анализ.

Рассматриваемые методы:

- матричный метод;
- модифицированный матричный метод с Tensor-Train разложением;
- PINN;
- градиентный метод.

Метод заключается в сведении дискретной задачи к СЛАУ большой размерности с плохо обусловленной матрицей:

$$\mathbf{A}_{total}\vec{Q} = \vec{F}.$$

Здесь матрица  $\mathbf{A}_{total}$  имеет размер  $(N_x + 1)(N_y + 1) \times N_t N$ ,  $N$  – количество приёмников.

## Ссылка

М. А. Шишленин. Матричный метод в задачах определения источников колебаний. Сиб. электрон. матем. изв., 11 (2014), С.161–С.171.

Эта СЛАУ может быть решена методом усечённого SVD:

$$\mathbf{U}\Sigma\mathbf{V}^T\vec{q} = \vec{f}$$

$$\Sigma\vec{z} = \mathbf{U}^T\vec{f} = \vec{g}$$

Тогда вектор  $\vec{z}$  может быть найден:  $z_j = \frac{g_j}{\sigma_j}$  и если  $\sigma_j = 0$ , тогда  $z_j = 0$ .

С другой стороны решение СЛАУ  $\mathbf{A}\vec{x} = \vec{b}$  может быть получено методом сопряжённых градиентов:

$$\vec{p}^{(0)} = 0, s = 1$$

$$\vec{r}^{(s)} = \begin{cases} \mathbf{A}^T (\mathbf{A}\vec{x}^{(s)} - \vec{b}), & \text{если } s = 1, \\ \vec{r}^{(s-1)} + \frac{\vec{q}^{(s-1)}}{(\vec{p}^{(s-1)}, \vec{q}^{(s-1)})}, & \text{если } s \geq 2, \end{cases} \quad (1)$$

$$\vec{p}^{(s)} = \vec{p}^{(s-1)} + \frac{\vec{r}^{(s)}}{(\vec{r}^{(s)}, \vec{r}^{(s)})}$$

$$\vec{q}^s = \mathbf{A}^T (\mathbf{A}\vec{p}^{(s)}),$$

$$\vec{x}^{(s+1)} = \vec{x}^{(s)} - \frac{\vec{p}^{(s)}}{(\vec{p}^{(s)}, \vec{q}^{(s)})},$$

$$s = s + 1.$$

## Ссылка

Lukyanenko, D.; Shinkarev, V.; Yagola, A. Accounting for Round-Off Errors When Using Gradient Minimization Methods. *Algorithms* 2022, 15, 324. <https://doi.org/10.3390/a15090324>

Исходя из предположения, что все операции выполняются корректно, имеем

$$\vec{x}^{res} = \vec{x}^{(N_t N + 1)}.$$

Но можно учесть ошибку арифметических операций и использовать её в критерии остановки алгоритма:

$$\|\vec{r}^{(s)}\|^2 > \sigma_s^2 \Delta^2,$$

где  $\sigma_s^2$  – дисперсия ошибки  $\|\vec{r}^{(s)}\|^2$  и  $\Delta = 10^{-16}$ .

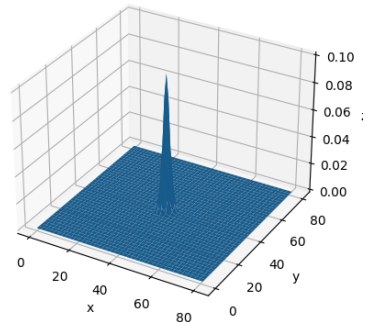


Рис. 1: Начальное условие

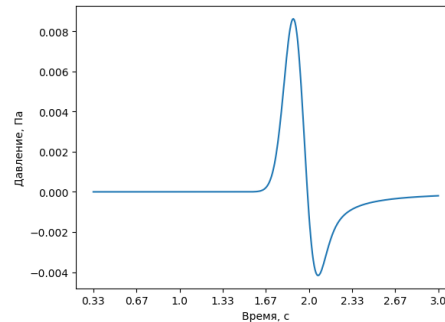


Рис. 2: Дополнительная информация (показания приёмника)

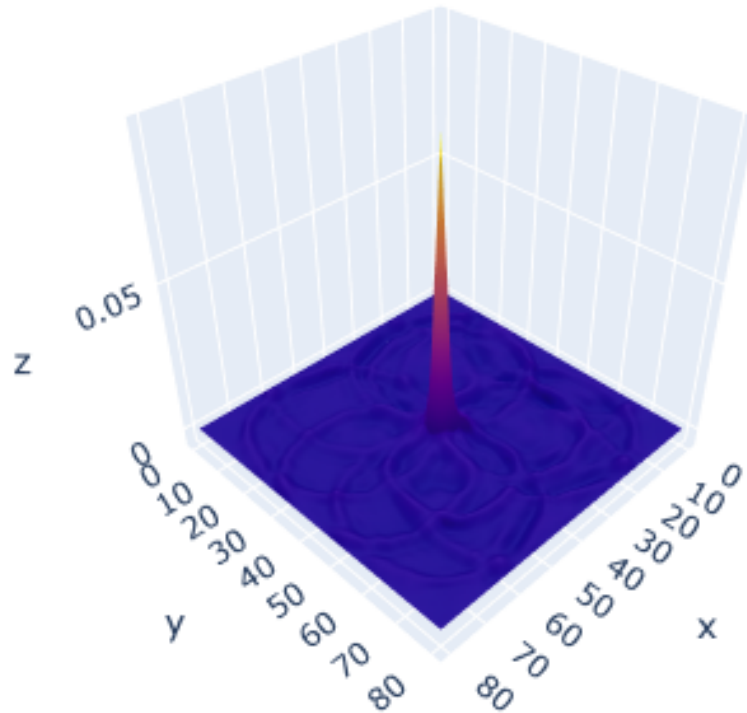


Рис. 3: Решение, полученное матричным методом

# Матричный метод. Tensor-Train разложение

## Определение

Тензор  $\mathbf{A} = \mathbf{A}(i_1, \dots, i_d)$  – это многомерный массив, где  $i_k = \overline{1, n_k}$ .

## Определение

Разложение вида  $\mathbf{A}(i_1, \dots, i_d) \approx \mathbf{G}_1(i_1) \cdot \dots \cdot \mathbf{G}_d(i_d)$ , где матрица  $\mathbf{G}_k(i_k)$  имеет размер  $r_{k-1} \times r_k$  называется Tensor-Train разложением (форматом).

## Ссылка

Oseledets, Ivan. (2011). Tensor-Train Decomposition. SIAM J. Scientific Computing. 33. 2295-2317. 10.1137/090752286.

Возможные операции над тензорами в этом формате:

- 1 сложение;
- 2 умножение;
- 3 округление;
- 4 восстановление по  $O(dnr^2)$  элементам.

Операция	Сложность
Сложение тензоров	$O(dnr^2 + dr^4)$
Многомерная свертка	$O(dnr + dr^3)$
Поэлементное произведение	$O(dnr^4)$
Скалярное произведение	$O(dnr^2 + dr^4)$
Норма	$O(dnr^2 + dr^4)$

Рис. 4: Сложность операций над тензорами

Физически обусловленные нейронные сети (PINN) представляют собой тип аппроксиматоров функций общего назначения, которые могут внедрять знания о любых физических законах, управляющих заданным набором данных, в процесс обучения и могут быть описаны с помощью уравнений в частных производных.

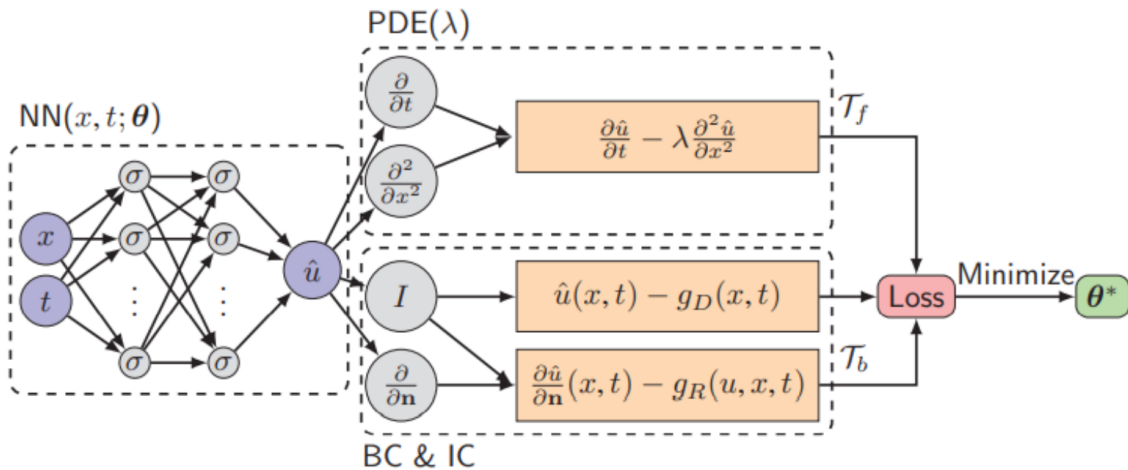


Рис. 5: PINN.

В таком виде эта модель не позволяет определить начальные условия, как нам надо.

Пусть решение уравнения имеет вид

$$\Phi(x, t, \theta) = A(x, y, t) + Z(x, y, t)F(x, t, \theta).$$

Функция  $A(x, y, t)$  должна удовлетворять начальным и граничным условиям и  $Z(x, y, t) = 0$  на границе. Значит, искомая функция  $q(x, y)$  может быть представлена в виде нейронной сети в функции  $Z(x, y, t)$ .

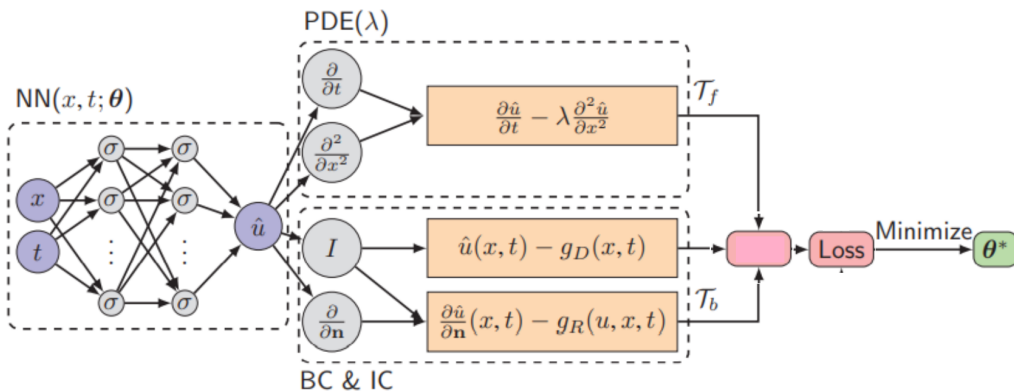


Рис. 6: Модифицированный PINN

Результат – решение обратной задачи требует  $> 10$  тыс. точек и 60 тыс. итераций,  $MSE = 10^{-7}$ .

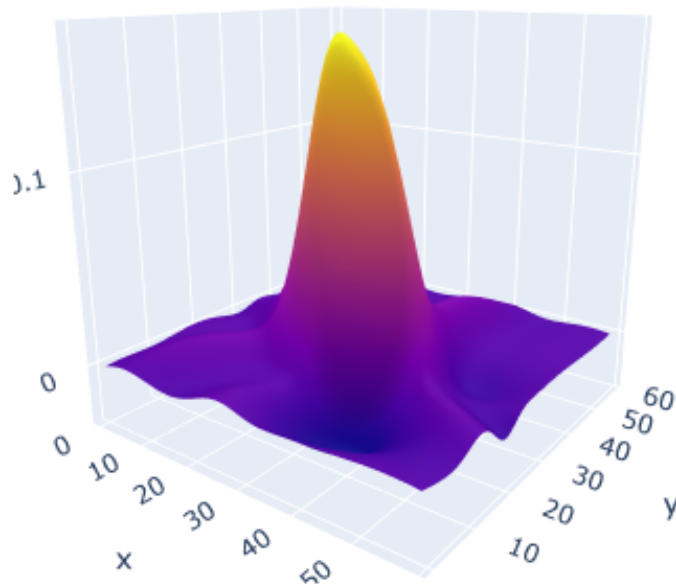


Рис. 7: Решение обратной задачи, полученное PINN (DeepXDE)

## Ссылка

Sirignano, J., Spiliopoulos, K. (2018). DGM: A deep learning algorithm for solving partial differential equations. *Journal of Computational Physics*, 375, 1339-1364.

Решение обратной задачи сводится к минимизации функционала

$$J(q) = \int_0^T \sum_{i=0}^N [u(x_i, y_i, t, q) - f_i(t)]^2 dt \rightarrow \min_q.$$

Тогда решение может быть получено итеративно:

$$q^{(n+1)} = q^{(n)} - \alpha_n J'(q^{(n)}),$$

где  $q^{(0)}$  – начальное приближение,  $\alpha_n$  – параметр спуска.

В нашем случае имеем

$$J'(q) = c^{-2}(x, y)\varphi_t|_{t=0},$$

где  $\varphi$  – решение сопряжённой задачи

$$c^{-2}(x, y)\varphi_{tt} - \Delta\varphi = \sum_{i=1}^N 2[u(x_i, y_i, t) - f_i(t)]\delta(x - x_i, y - y_i),$$

$$\varphi|_{t=T} = 0,$$

$$\varphi_t|_{t=0} = 0,$$

$$\varphi|_{\partial\Omega} = 0.$$

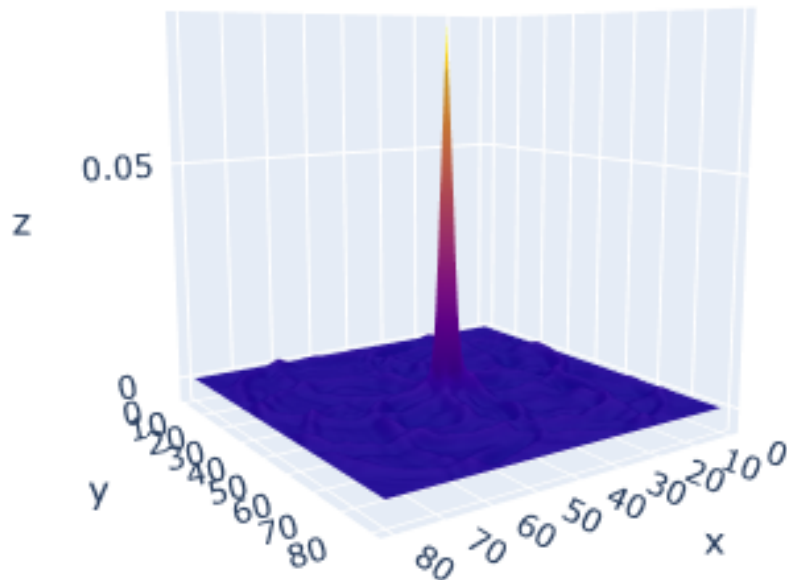


Рис. 8: Решение обратной задачи, полученное градиентным методом

Метод	ит.	$N_{x,y}$	$N_t$	Время, с	Ошибка
Matrix (SVD)	-	80	90	786	0.006
Matrix (CG)	-	80	90	377	0.006
ТТ	-	80	90	128	0.007
PINN	70000	-	-	7826	0.028
Gradient	10000	80	90	365	0.011

Таблица 1: Результаты расчётов

AMD Ryzen 9 5900X, NVIDIA GeForce RTX 4070

# Q&A

[alexej.guber@yandex.ru](mailto:alexej.guber@yandex.ru)